

**РУКОВОДЯЩИЙ ТЕХНИЧЕСКИЙ МАТЕРИАЛ**

---

**КОТЛЫ СТАЦИОНАРНЫЕ  
ПАРОВЫЕ И ВОДОГРЕЙНЫЕ  
И ТРУБОПРОВОДЫ ПАРА И ГОРЯЧЕЙ ВОДЫ  
МЕТОД ОЦЕНКИ ДОЛГОВЕЧНОСТИ  
ПРИ МАЛОЦИКЛОВОЙ УСТАЛОСТИ И ПОЛЗУЧЕСТИ**

**РТМ 108.031.105—77**

**Издание официальное**

**РАЗРАБОТАН** Научно-производственным объединением по исследованию и проектированию энергетического оборудования им. И. И. Ползунова (НПО ЦКТИ)

Генеральный директор  
Заведующий базовым отраслевым  
отделом стандартизации  
Заведующий отделом прочности  
Руководители темы:

Н. М. МАРКОВ  
В. Л. МАРКОВ  
В. С. ПОСТОВЕВ  
Б. В. ЗВЕРЬКОВ,  
И. А. ДАНЮШЕВСКИЙ  
Т. И. ТАТУЕВА

Исполнитель

**Научно-производственным объединением по технологии энергетического машиностроения (ЦНИИТМАШ)**

Генеральный директор  
Заведующий отделом  
Руководители темы:

Н. Н. ЗОРЕВ  
Л. П. ТРУСОВ  
Г. А. ТУЛЯКОВ,  
В. В. ГРИНЕВСКИЙ,  
Б. М. СОКОЛЯНСКИЙ

**Производственным объединением «Красный котельщик»**

Генеральный директор  
Главный конструктор  
Руководитель темы

А. А. ПАРШИН  
Л. М. ХРИСТИЧ  
В. Б. НАДЛЕР

**ВНЕСЕН** Научно-производственным объединением по исследованию и проектированию энергетического оборудования им. И. И. Ползунова (НПО ЦКТИ)

Генеральный директор

Н. М. МАРКОВ

**ПОДГОТОВЛЕН К УТВЕРЖДЕНИЮ** Техническим управлением Министерства энергетического машиностроения

Начальник Технического управления  
Начальник отдела опытно-конструкторских  
и научно-исследовательских работ  
по котлостроению

В. П. ПЛАСТОВ  
В. В. ЛЕБЕДЕВ

**СОГЛАСОВАНО** с Государственным комитетом по надзору за безопасным ведением работ в промышленности и горному надзору при Совете Министров СССР (Госгортехнадзор СССР)

Заместитель начальника управления по котлонадзору  
и подъемным сооружениям  
Госгортехнадзора СССР

А. И. МУРАЧЕВ

**УТВЕРЖДЕН И ВВЕДЕН В ДЕЙСТВИЕ** Указанием Министерства энергетического машиностроения от 03.11.77 № ВВ-002/8339

Заместитель министра

В. М. ВЕЛИЧКО

**КОТЛЫ СТАЦИОНАРНЫЕ  
ПАРОВЫЕ И ВОДОГРЕЙНЫЕ  
И ТРУБОПРОВОДЫ ПАРА  
И ГОРЯЧЕЙ ВОДЫ**

**РТМ 108.031.105—77**

**МЕТОД ОЦЕНКИ ДОЛГОВЕЧНОСТИ  
ПРИ МАЛОЦИКЛОВОЙ УСТАЛОСТИ  
И ПОЛЗУЧЕСТИ**

Введен впервые

Указанием Министерства энергетического машиностроения от 03.11.77 № ВВ-002/8339 введен как рекомендуемый.

Настоящий руководящий технический материал (РТМ) распространяется на стационарные паровые и водогрейные котлы и трубопроводы пара и горячей воды и устанавливает методику оценки долговечности при малоцикловой усталости и ползучести деталей котлов и трубопроводов в соответствии с требованиями ОСТ 108.031.02—75.

**1. УСЛОВНЫЕ ОБОЗНАЧЕНИЯ**

- $\sigma_n$  — расчетная амплитуда напряжений, кгс/мм<sup>2</sup>;  
 $[\sigma_a]$  — допускаемая амплитуда напряжений, определенная по графикам долговечности, кгс/мм<sup>2</sup>;  
 $[\sigma_a^*]$  — допускаемая амплитуда напряжений, кгс/мм<sup>2</sup>;  
 $\sigma_i$  — главные условно-упругие напряжения в расчетной точке детали ( $i=1, 2, 3$ ), кгс/мм<sup>2</sup>;  
 $\sigma_{sij}$  — эквивалентные напряжения ( $i, j=1, 2, 3$ ), кгс/мм<sup>2</sup>;  
 $\Delta\sigma_{sij}$  — размах эквивалентных напряжений, кгс/мм<sup>2</sup>;  
 $[\sigma]_{\max}, [\sigma]_{\min}$  — допускаемые напряжения по ОСТ 108.031.02—75, соответствующие температуре, при которой достигаются максимальные и минимальные эквивалентные напряжения, кгс/мм<sup>2</sup>;  
 $E_{\max}, E_{\min}$  — модуль упругости, соответствующий температуре, при которой достигаются максимальные и минимальные эквивалентные напряжения, кгс/см<sup>2</sup>;

- $E^t$  — модуль упругости, соответствующий максимальной температуре цикла, кгс/мм<sup>2</sup>;  
 $N$  — число циклов нагружения;  
 $N_t$  — число циклов нагружения данного типа;  
 $[N]$  — допустимое число циклов по расчетным кривым малоциклового усталости;  
 $[N^*]$  — допустимое число циклов;  
 $\sigma_c$  — расчетное напряжение с учетом ползучести, кгс/мм<sup>2</sup>;  
 $\sigma_{д.п. 10^4}^t, \sigma_{д.п. 10^5}^t, \sigma_{д.п. 2 \cdot 10^5}^t$  — условный предел длительной прочности при растяжении (напряжение, вызывающее разрушение при расчетной температуре соответственно через  $10^4, 10^5$  и  $2 \cdot 10^5$  ч), кгс/мм<sup>2</sup>;  
 $[\sigma]$  — номинальное допустимое напряжение при расчете детали только на действие давления, кгс/мм<sup>2</sup>;  
 $D$  — параметр, характеризующий допустимое повреждение от ползучести и усталости;  
 $\Pi_\sigma, \Pi_N$  — коэффициенты, учитывающие влияние ползучести на допустимую амплитуду напряжений и допустимое число циклов;  
 $m$  — показатель степени в уравнении длительной прочности стали;  
 $n$  — количество различных типов циклов;  
 $l$  — количество различных номинальных режимов;  
 $\tau_i$  — длительность работы элемента при данных номинальных параметрах нагружения, включая время пуска и останова, ч;  
 $\tau$  — суммарное расчетное время работы элемента, ч;  
 $\sigma_9^B$  — эквивалентное напряжение от весовых нагрузок и внутреннего давления по ОСТ 108.031.02—75, кгс/мм<sup>2</sup>;  
 $\sigma_9^{B, СК}$  — эквивалентное напряжение от весовых нагрузок, самокомпенсации и внутреннего давления по ОСТ 108.031.02—75, кгс/см<sup>2</sup>.

## 2. ОСНОВНЫЕ ПОЛОЖЕНИЯ

2.1. Расчет на малоцикловую усталость является поверочным и выполняется после выбора основных размеров детали в соответствии с ОСТ 108.031.02—75.

2.2. Поверочный расчет производят с учетом всех нагрузок (основных и дополнительных) для всех расчетных режимов работы.

2.3. Характеристики используемых материалов (допущенных к применению Госгортехнадзором СССР) и качество изготовления должны удовлетворять требованиям соответствующих технических условий.

2.4. Методика применима для расчета вновь проектируемых деталей, работающих при малоцикловой усталости, во всем диапазоне изменения рабочих температур. Уровень температур, обуславливающий необходимость учета ползучести, устанавливается в соответствии с ОСТ 108.031.02—75.

### **3. ПЕРЕМЕННЫЕ НАГРУЗКИ**

3.1. За цикл нагружения принимается повторяющееся изменение нагрузки от первоначальной до максимальной (минимальной) и возврат к первоначальной нагрузке.

Тип цикла характеризуется расчетной амплитудой напряжения  $\sigma_a$ , числом нагружений и максимальной температурой.

3.2. При расчете на усталость учитываются следующие нагрузки:

изменение давления при пуске — останове котла;

колебания рабочего давления при эксплуатации (кроме пуска — останова);

дополнительные внешние нагрузки и их изменение при эксплуатации (весовые нагрузки, наддув и т. п.);

температурные перепады при пуске — останове котла, включая компенсационные нагрузки при тепловых расширениях трубопроводов;

дополнительные перепады температуры, вызываемые колебаниями температуры среды или теплового потока при эксплуатации.

### **4. ПЕРЕМЕННЫЕ НАПРЯЖЕНИЯ**

4.1. Расчет на усталость основывается на условно-упругих напряжениях, действующих в расчетной точке детали. Расчет производится для всех основных этапов эксплуатации: пуска, рабочего режима, останова и т. д. в точках, где ожидается наибольший размах напряжений.

4.2. Для каждой расчетной точки определяют три главных нормальных условно-упругих напряжений (с учетом местных концентраторов напряжений), представляющих собой алгебраическую сумму действующих в одном направлении напряжений от всех приложенных нагрузок,  $\sigma_1$ ,  $\sigma_2$ ,  $\sigma_3$ . Составляющие главных нормальных напряжений определяются теоретическим или экспериментальным путем.

В случае отсутствия точного значения местных напряжений допускается принимать коэффициент концентрации окружных напряжений от действия внутреннего давления на кромках отверстий в цилиндрических элементах равным 3,0, в сферических и выпуклых днищах 2,2, а коэффициент концентрации окружных и осевых напряжений от действия температурных градиентов для цилиндрических и сферических деталей равным 2,0. Для гибов коэффициент концентрации окружных напряжений от внутреннего давления

в зонах нейтральной (внутренняя поверхность трубы) и внешней образующих (наружная поверхность трубы) допускается принимать равным 3,5 при  $s/D_n > 0,12$ ; 4,0 при  $0,08 < s/D_n \leq 0,12$ ; 4,7 при  $0,05 \leq s/D_n \leq 0,08$ .

Для цилиндрических деталей

$$\sigma_1 = \sigma_\varphi; \quad \sigma_2 = \sigma_z; \quad \sigma_3 = \sigma_r;$$

при наличии крутящего момента

$$\sigma_1 = 0,5 \left[ \sigma_\varphi + \sigma_z + \sqrt{(\sigma_\varphi - \sigma_z)^2 + 4\tau^2} \right];$$

$$\sigma_2 = 0,5 \left[ \sigma_\varphi + \sigma_z - \sqrt{(\sigma_\varphi - \sigma_z)^2 + 4\tau^2} \right];$$

$$\sigma_3 = \sigma_r.$$

4.3. По значениям главных условно-упругих напряжений определяют эквивалентные напряжения для расчетных точек детали в заданные моменты времени как алгебраическую разность главных нормальных напряжений:

$$\sigma_{\vartheta 12} = \sigma_1 - \sigma_2;$$

$$\sigma_{\vartheta 23} = \sigma_2 - \sigma_3;$$

$$\sigma_{\vartheta 13} = \sigma_1 - \sigma_3.$$

## 5. РАЗМАХ И АМПЛИТУДА ПЕРЕМЕННЫХ НАПРЯЖЕНИЙ

5.1. Для каждого цикла нагружения существуют режимы, при которых принимают максимальные и минимальные значения величины:

$$\frac{\sigma_{\vartheta ij \max}}{E_{\max}}; \quad \frac{\sigma_{\vartheta ij \min}}{E_{\min}}.$$

В расчет вводится размах условно-упругих эквивалентных напряжений  $\Delta\sigma_{\vartheta ij}$ , равный наибольшему значению алгебраической разности:

$$\Delta\sigma_{\vartheta 12} = E^t \left( \frac{\sigma_{\vartheta 12 \max}}{E_{\max}} - \frac{\sigma_{\vartheta 12 \min}}{E_{\min}} \right);$$

$$\Delta\sigma_{\vartheta 23} = E^t \left( \frac{\sigma_{\vartheta 23 \max}}{E_{\max}} - \frac{\sigma_{\vartheta 23 \min}}{E_{\min}} \right);$$

$$\Delta\sigma_{\vartheta 13} = E^t \left( \frac{\sigma_{\vartheta 13 \max}}{E_{\max}} - \frac{\sigma_{\vartheta 13 \min}}{E_{\min}} \right).$$

5.2. Расчетная амплитуда напряжений определяется по следующим формулам (берется наибольшая из величин):

$$\sigma_a = \frac{\Delta\sigma_{\vartheta ij}}{2};$$

$$\sigma_a = \frac{\Delta\sigma_{\vartheta ij}}{2} \frac{\Delta\sigma_{\vartheta ij}}{1,5([\sigma]_{\max} + [\sigma]_{\min})}.$$

5.3. Если деталь подвергается действию циклов разного типа, то величина расчетной амплитуды  $\sigma_a$  определяется отдельно для каждого типа цикла.

## 6. ДОПУСКАЕМАЯ АМПЛИТУДА ПЕРЕМЕННЫХ НАПРЯЖЕНИЙ

6.1. Допускаемое число циклов  $[N^*]$  для заданной амплитуды переменных напряжений  $\sigma_a$  определяется по формуле

$$[N^*] = \frac{[N]}{P_N};$$

допускаемая амплитуда переменных напряжений  $[\sigma_a^*]$  для заданного числа циклов  $N$  определяется по формуле

$$[\sigma_a^*] = \frac{[\sigma_a]}{P_\sigma}.$$

6.2. Допускаемая амплитуда переменных напряжений  $[\sigma_a]$  для заданного числа циклов  $N$  или допускаемое число циклов  $[N]$  для заданной амплитуды переменных напряжений  $\sigma_a$  определяется по кривым малоциклового усталости, приведенным на графиках (черт. 1, 2, 3), для максимальной температуры цикла.

Расчетные кривые были откорректированы с целью учета максимального влияния среднего напряжения (асимметрии цикла). Поскольку при испытаниях, по результатам которых построены усталостные кривые, не учитывалось влияние коррозии при нарушении водного режима и консервации котлов и трубопроводов, влияние этих факторов должно учитываться дополнительно.

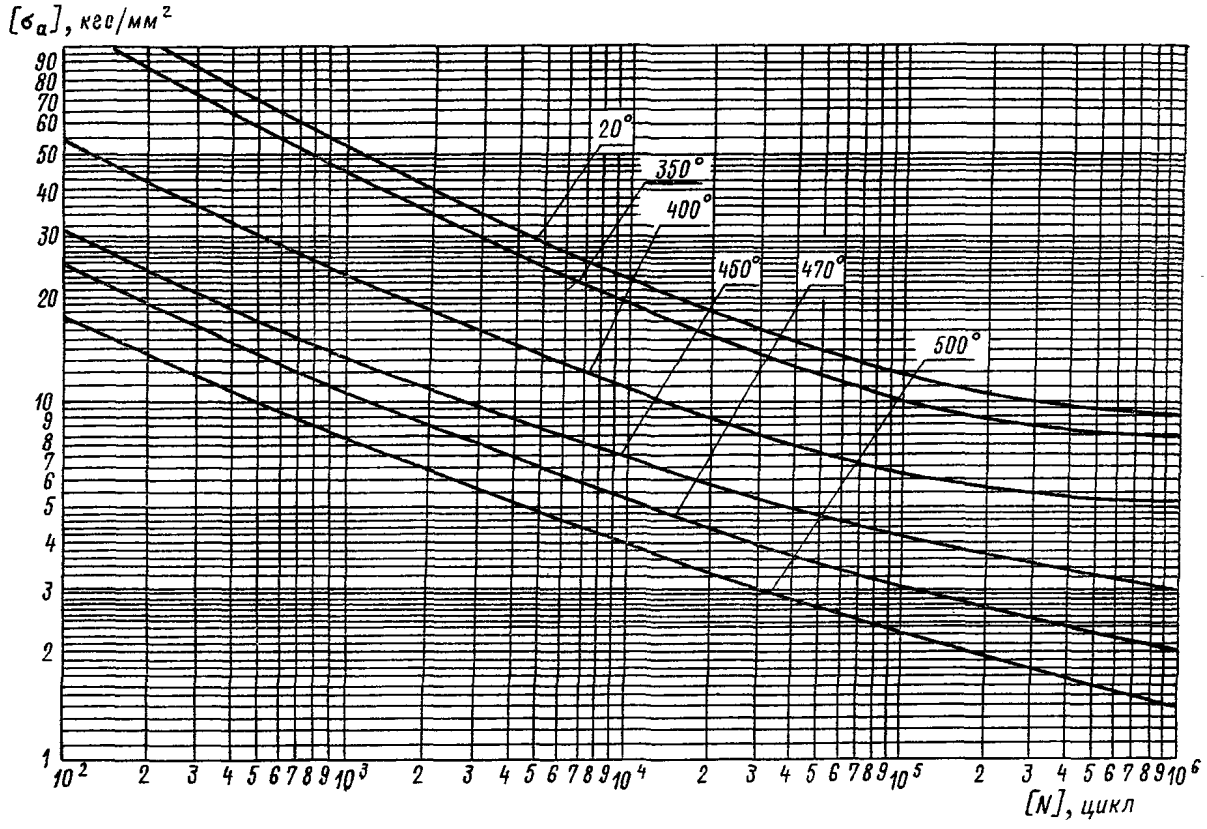
6.3. При температуре металла, отличающейся от приведенной на графиках черт. 1, 2, 3, допускаемое напряжение  $[\sigma_a]$  или допускаемое число циклов  $[N]$  определяется линейной интерполяцией. Экстраполяция кривых не допускается.

6.4. Значения коэффициентов  $P_N$  и  $P_\sigma$ , учитывающих повреждаемость, вызываемую ползучестью, вычисляются для углеродистых сталей при температурах, превышающих 400°C, а также для легированных сталей при температурах, превышающих 450°C, по следующим формулам:

$$P_N = \frac{1}{D - \left(1,25 \frac{\sigma_c}{\sigma_{д.п}^t}\right)^m};$$

$$P_\sigma = (P_N)^{1/m}.$$

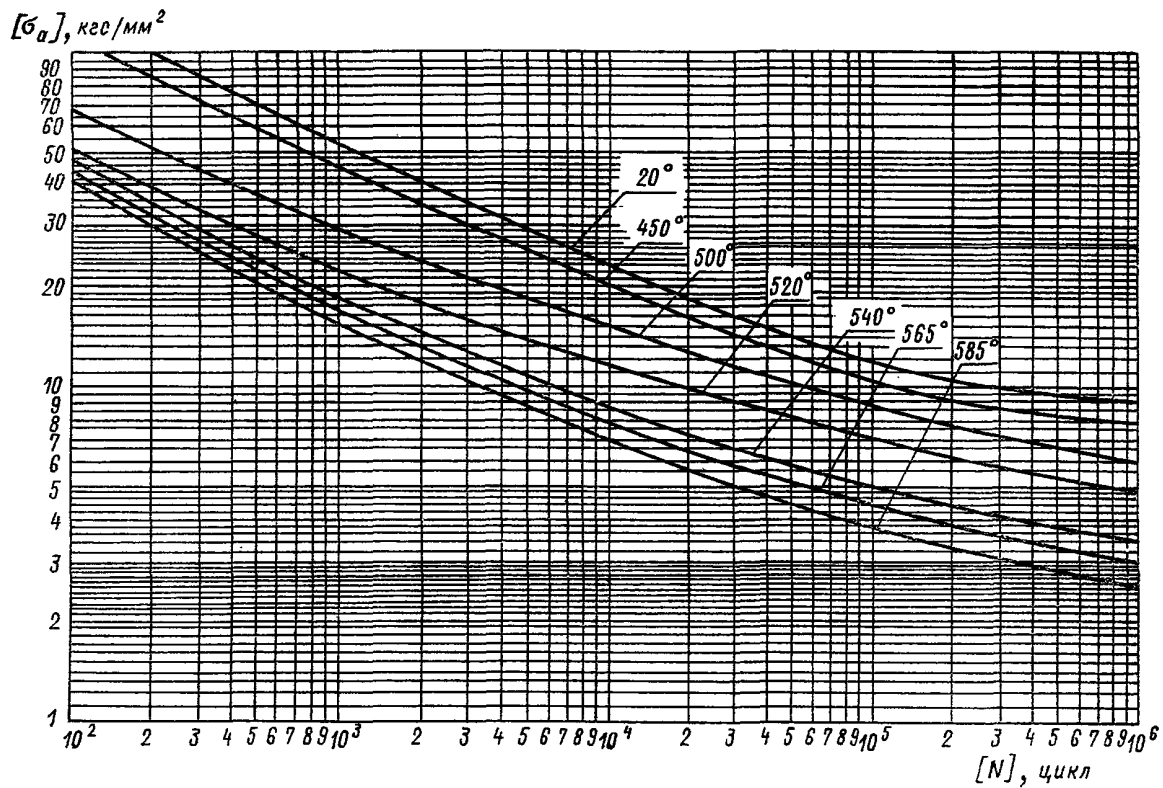
Расчетные кривые малоциклового усталости углеродистых сталей



Черт. 1

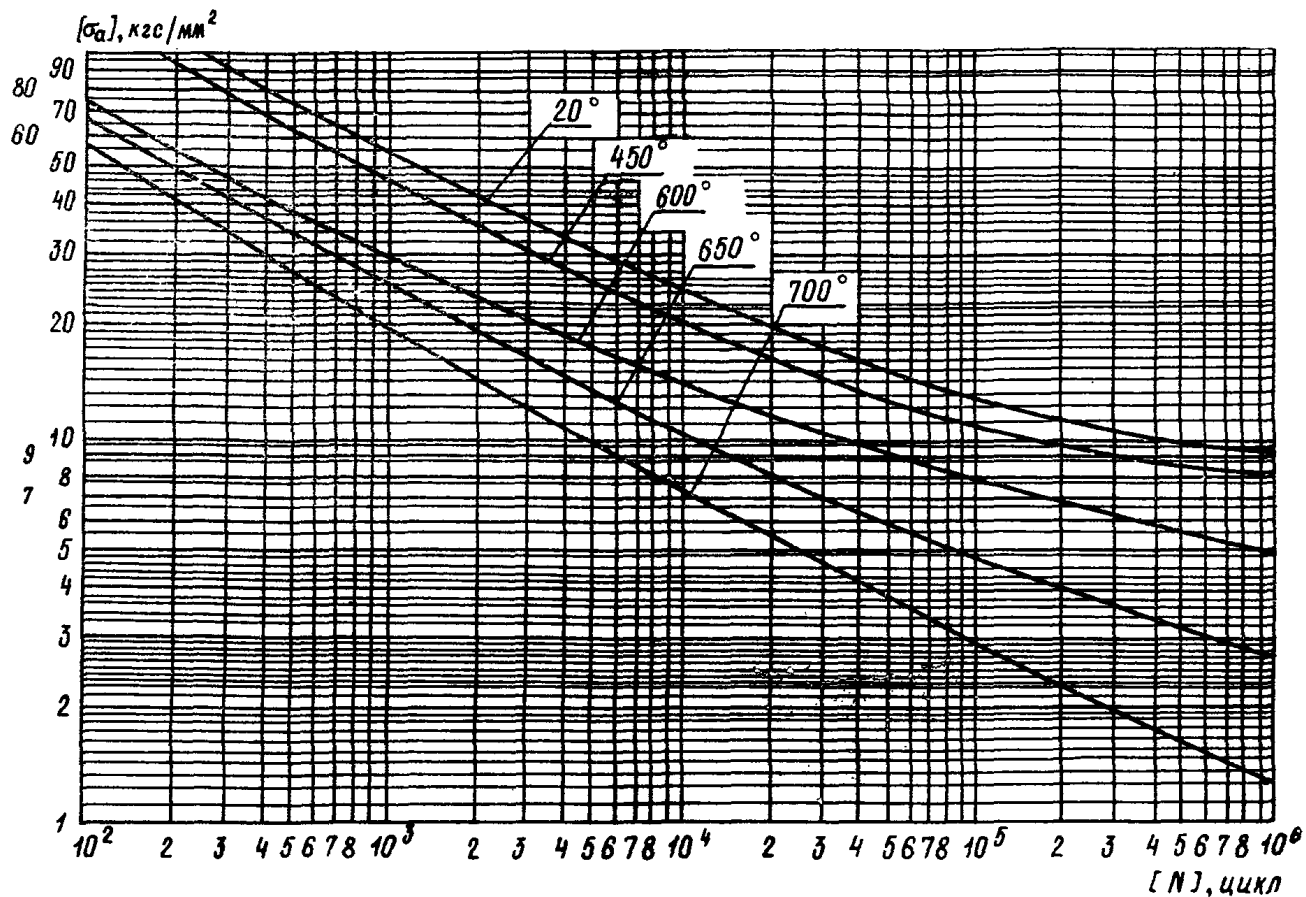


Расчетные кривые малоциклового усталости низколегированных хромомолибденованадиевых сталей



Черт. 2

Расчетные кривые малоциклового усталости высоколегированных хромоникелевых сталей



Черт. 3

Значения параметра  $D$  приведены на графике черт. 4. Для температур, ниже указанных,  $\Pi_N = \Pi_\sigma = 1$ . Рекомендуется принимать  $\sigma'_{\lambda,п} = 1,5[\sigma]$ .

Расчетное напряжение при ползучести  $\sigma_c$  представляет собой максимальное главное нормальное напряжение с учетом пластичности и ползучести материала. В случае отсутствия точного значения допускается принимать  $\sigma_c$  наибольшим из значений, вычисленных по формулам:

$$\sigma_c = k\sigma_g^B;$$

$$\sigma_c = k\sigma_g^{B, \text{СК}}.$$

$$\text{При } \frac{\Delta\sigma_{sij}}{1,5([\sigma]_{\text{max}} + [\sigma]_{\text{min}})} \leq 1$$

для коллекторов  $k=1,20$ ; для гибов  $k=1,2$  при  $s/D_H > 0,12$ ;  $k=1,25$  при  $0,08 < s/D_H \leq 0,12$ ;  $k=1,35$  при  $s/D_H \leq 0,08$ .

При  $\frac{\Delta\sigma_{sij}}{1,5([\sigma]_{\text{max}} + [\sigma]_{\text{min}})} > 1$  для коллекторов  $k=1,30$ ; для гибов  $k=1,35$  при  $s/D_H > 0,12$ ;  $k=1,40$  при  $0,08 < s/D_H \leq 0,12$ ;  $k=1,5$  при  $s/D_H \leq 0,08$ .

Примечания:

1. При расчете  $\sigma_g^{B, \text{СК}}$  по ОСТ 108.031.02—75 нагрузки  $Q^{\text{СК}}$ ,  $M_x^{\text{СК}}$  принимаются с коэффициентом релаксации, определяемым в соответствии с РТМ 24.038.08—72 (см. черт. 1 указанного РТМ).

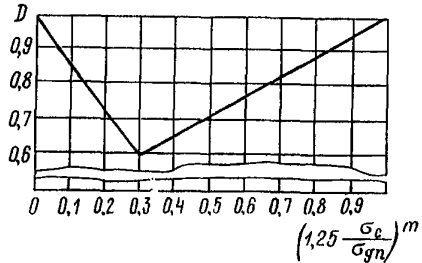
2. Для гибов внешних паро- и водоперепускных труб в пределах котла диаметром 76 мм и более рекомендуется дополнительная прибавка к расчетной толщине стенки: для давления 100 кгс/см<sup>2</sup> 3 мм, 140 кгс/см<sup>2</sup> 2 мм, что связано с различными режимными факторами, возникающими при пуске и останове.

6.5. Если  $1,25 \frac{\sigma_c}{\sigma'_{\lambda,п}} \geq 1$ , то допускается не более 100 циклов пусков — остановов, если  $\frac{\sigma_c}{\sigma'_{\lambda,п}} \leq 0,5$ , то  $\Pi_N = \Pi_\sigma = 1$  (повреждаемость от ползучести не учитывается).

6.6. Если в расчетной точке детали имеются сварные швы, то допускаемое число циклов уменьшается в два раза по сравнению с полученным по расчетным кривым малоциклового усталости при отсутствии швов.

6.7. Если деталь подвергается циклам нагружения различного типа при неизменных значениях давления, температуры и внешних

Суммарная повреждаемость как функция от повреждаемости, вызываемой ползучестью



Черт. 4

нагрузок, то для оценки долговечности следует использовать формулу

$$\sum \frac{N_i}{[N]} + \left(1,25 \frac{\sigma_c}{\sigma_{д.п}^t}\right)^m \leq D.$$

Если в процессе работы номинальные значения давления, температуры и внешних нагрузок изменяются, то для оценки долговечности следует использовать формулу

$$\sum_{i=1}^n \frac{N_i}{[N]} + \frac{\sum_{i=1}^l \frac{\tau_i}{\tau} (\sigma_{ci})^m}{\sum_{i=1}^l \frac{\tau_i}{\tau} \left(\frac{\sigma_{д.п.и}^t}{1,25}\right)^m} \leq D.$$

6.8. Если заданное число циклов данного типа меньше 1000, то расчет производится на 1000 циклов.

6.9. Примеры расчета деталей котлов на малоцикловую усталость при наличии ползучести даны в справочном приложении.



## ПРИМЕРЫ РАСЧЕТА

## 1. ПОВЕРОЧНЫЙ РАСЧЕТ ВЫХОДНОЙ КАМЕРЫ ПАРОПЕРЕГРЕВАТЕЛЯ

1.1. Рассчитать допустимое число пусков — остановов для выходной камеры пароперегревателя котла. Максимальная скорость прогрева  $2$  и  $4^\circ\text{C}/\text{мин}$ . Наружный диаметр камеры  $426$  мм, толщина стенки  $90$  мм, материал — сталь  $15\text{X}1\text{M}1\Phi$ . Максимальная температура цикла  $555^\circ\text{C}$ , минимальная  $250^\circ\text{C}$ . Давление  $255$  кгс/см<sup>2</sup>, коэффициент прочности  $\varphi=0,8$ . Предполагается, что коллектор не несет весовых и компенсационных нагрузок. Перепады температур по длине и периметру коллектора пренебрежимо малы.

1.2. В начале пуска напряжения от перепада температур по толщине стенки, вызванные прогревом, максимальны, а напряжения от внутреннего давления близки к нулю. При выходе на стационарный режим температурные напряжения падают до нуля, а напряжения от внутреннего давления достигают максимальных значений.

Предполагается, что при останове уровень напряжений ниже, чем при пуске. В этих условиях минимальная интенсивность достигается в начале разогрева, а максимальная — при выходе на стационарный режим.

1.3. Порядок расчета представлен в табл. 1.

1.4. При низких скоростях прогрева  $v_t=2^\circ\text{C}/\text{мин}$  допустимое число циклов составляет  $840$ , при  $v_t=4^\circ\text{C}/\text{мин}$  возникает упруго-пластический цикл и допустимое число циклов резко падает до  $135$ . Из примера видно, что в маневренном режиме данная конструкция плохо работает и следует принять меры конструктивного или режимного характера.

## 2. ПОВЕРОЧНЫЙ РАСЧЕТ ГИБА ПЕРЕПУСКНОЙ ТРУБЫ КОТЛА

2.1. Рассчитать допустимое число циклов пусков — остановов для ггиба необогреваемого трубопровода в пределах котла с параметрами пара  $155$  кгс/см<sup>2</sup> и  $500^\circ\text{C}$ , материал — сталь  $12\text{X}1\text{M}\Phi$ . Наружный диаметр трубопровода  $108$  мм, толщина стенки  $10$  мм, овальность — не более  $8\%$ . Внешний изгибающий момент от самокомпенсации температурных расширений  $M=9,0 \cdot 10^5$  кгс·мм, расположен в плоскости ггиба и сгибает колено.

2.2. На стационарном режиме гиб находится под действием внутреннего давления и изгибающего момента. При останове нагрузки существенно ниже. В соответствии с РТМ 24.038.08—72 (черт. 1) примем коэффициент, характеризующий релаксацию напряжений от самокомпенсации, равным  $0,6$ , относительный радиус ггиба  $R/D=4$ .

2.3. Порядок расчета представлен в табл. 2.

Искомая величина	Источник	Расчет
<p>Напряжения при квазистационарном режиме на внутренней поверхности коллектора</p>	<p>РТМ 24.038.11—72</p>	$\sigma_{\varphi t} = 0,167 \cdot 10^{-9} \varphi \frac{s^2 \sigma_t}{a} \frac{2E}{1-\mu}, \text{ кгс/мм}^2$ <p>(черт. 3, 5, 6 и 7 РТМ 24.038.11—72)</p> <p>Имеем <math>\varphi = -0,43</math>, <math>a = 0,8 \cdot 10^{-5} \text{ м}^2/\text{с}</math>, <math>\alpha = 13,6 \cdot 10^{-6}</math>,</p>
<p>Минимальные эквивалентные напряжения при: <math>v_t = 2^\circ\text{C}/\text{мин}</math></p> <p><math>v_t = 4^\circ\text{C}/\text{мин}</math></p>	<p>П. 4.3</p>	$E_{\text{min}}^t = 2,07 \cdot 10^6 \text{ кгс/см}^2, \quad \frac{D_{\text{н}}}{D_{\text{в}}} = \frac{426}{246} = 1,73, \quad \sigma_{rt} = 0$ $\sigma_{\varphi 13 \text{ min}}^{250} = k_t \sigma_{\varphi t} - \sigma_{rt} = 2 \cdot 0,167 \cdot 10^{-9} (-0,43) \frac{90^2 \cdot 2}{0,8 \cdot 10^{-5}} \times$ $\times \frac{13,6 \cdot 10^{-6} \cdot 2,07 \cdot 10^6}{1 - 0,3} = -12,1 \text{ кгс/мм}^2$ $\sigma_{\varphi 13 \text{ min}}^{250} = k_t \sigma_{\varphi t} - \sigma_{rt} = 2 \cdot 0,167 \cdot 10^{-9} (-0,43) \frac{90^2 \cdot 4}{0,8 \cdot 10^{-5}} \times$ $\times \frac{13,6 \cdot 10^{-6} \cdot 2,07 \cdot 10^6}{1 - 0,3} = -24,2 \text{ кгс/мм}^2$
<p>Максимальные эквивалентные напряжения</p>		$\sigma_{\varphi 13 \text{ max}}^{555} = k_p \sigma_{\varphi p} - \sigma_{rp} = 3 \frac{p}{100} \frac{\beta^2 + 1}{\beta^2 - 1} - \left( -\frac{p}{100} \right) =$ $= 3 \frac{255}{100} \frac{(1,73)^2 + 1}{(1,73)^2 - 1} + \frac{255}{100} = 17,9 \text{ кгс/мм}^2$

Искомая величина	Источник	Расчет
<p>Размах эквивалентных напряжений при: <math>v_t = 2^\circ\text{C}/\text{мин}</math></p> <p><math>v_t = 4^\circ\text{C}/\text{мин}</math></p>	<p>П. 5.1</p>	$\Delta\sigma_{\text{э}13} = E^t \left( \frac{\sigma_{\text{э}13 \text{ max}}^{555}}{E_{\text{max}}^{555}} - \frac{\sigma_{\text{э}13 \text{ min}}^{250}}{E_{\text{min}}^{250}} \right) =$ $= 1,73 \cdot 10^4 \left( \frac{17,9}{1,73 \cdot 10^4} + \frac{12,1}{2,07 \cdot 10^4} \right) = 28 \text{ кгс/мм}^2$ $\Delta\sigma_{\text{э}13} = 1,73 \cdot 10^4 \left( \frac{17,9}{1,73 \cdot 10^4} + \frac{24,2}{2,07 \cdot 10^4} \right) = 38,6 \text{ кгс/мм}^2$
<p>Расчетная амплитуда напряжений при: <math>v_t = 2^\circ\text{C}/\text{мин}</math></p>	<p>П. 5.2</p> <p>ОСТ 108.031.02—75</p>	$\max \left\{ \begin{array}{l} \sigma_a = \frac{\Delta\sigma_{\text{э}13}}{2}; \\ \sigma_a = \frac{\Delta\sigma_{\text{э}13}}{2} \frac{\Delta\sigma_{\text{э}13}}{1,5 \left( [\sigma]_{\text{max}}^{555} + [\sigma]_{\text{min}}^{250} \right)}; \end{array} \right.$ $[\sigma]_{\text{max}}^{555} = 6,75 \text{ кгс/мм}^2; \quad [\sigma]_{\text{min}}^{250} = 18,6 \text{ кгс/мм}^2;$ $\frac{\Delta\sigma_{\text{э}13}}{1,5 \left( [\sigma]_{\text{max}}^{555} + [\sigma]_{\text{min}}^{250} \right)} = \frac{28}{1,5 (6,75 + 18,6)} = 0,74 < 1;$ $\sigma_a = \frac{\Delta\sigma_{\text{э}13}}{2} = \frac{28}{2} = 14,0 \text{ кгс/мм}^2$

Искомая величина	Источник	Расчет
Допускаемое число циклов по расчетным кривым малоциклового усталости при $v_t = 2^\circ\text{C}/\text{мин}$	П. 6.2	$[N] = 2000$
Расчетная амплитуда напряжений при $v_t = 4^\circ\text{C}/\text{мин}$	П. 5.2	$\max \left\{ \begin{aligned} \sigma_a &= \frac{\Delta\sigma_{\text{э}13}}{2} = \frac{38,6}{2} = 19,3; \\ \sigma_a &= \frac{\Delta\sigma_{\text{э}13}}{2} \frac{1,5 \frac{\Delta\sigma_{\text{э}13}}{555}}{1,5 \left( \left[ \sigma \right]_{\text{max}}^{250} + \left[ \sigma \right]_{\text{min}} \right)} = \frac{38,6}{2} \times \\ &\times \frac{38,6}{1,5 (6,75 + 18,6)} = 20,5 \text{ кгс/мм}^2 \end{aligned} \right.$
Допускаемое число циклов по расчетным кривым малоциклового усталости при $v_t = 4^\circ\text{C}/\text{мин}$	П. 6.2	$[N] = 650$



Искомая величина	Источник	Расчет
Среднее окружное напряжение от внутреннего давления при номинальном режиме	ОСТ 108.031.02—75, П. 9.3.1	$\sigma_{\varphi} = \frac{pD_b}{200s\varphi} = \frac{155(426 - 180)}{200 \cdot 90 \cdot 0,8} = 4,35 \text{ кгс/мм}^2$
Среднее радиальное напряжение от внутреннего давления	П. 9.3.3	$\sigma_r = -\frac{p}{200} = -\frac{255}{200} = -1,27 \text{ кгс/мм}^2$
Эквивалентное напряжение от внутреннего давления	П. 9.3.8	$\sigma_{\varphi} = \sigma_{\varphi} - \sigma_r = 4,35 - (-1,27) = 5,62 \text{ кгс/мм}^2$
Расчетное напряжение с учетом ползучести при: $v_t = 2^\circ\text{C/мин}$  $v_t = 4^\circ\text{C/мин}$	П. 6.4	$\sigma_c = 1,20\sigma_{\varphi} = 1,2 \cdot 5,62 = 6,75 \text{ кгс/мм}^2$ $\sigma_c = 1,3\sigma_{\varphi} = 1,3 \cdot 5,62 = 7,3 \text{ кгс/мм}^2$ <p>(поскольку <math>\frac{\Delta\sigma_{\varphi 13}}{1,5([\sigma]_{\max}^t + [\sigma]_{\min}^t)} &gt; 1</math> при <math>v_t = 4^\circ\text{C/мин}</math>)</p>

Искомая величина	Источник	Расчет
Повреждаемость, вызываемая ползучестью, при $v_t = 2^\circ\text{C}/\text{мин}$	П. 6.4, черт. 4	$\left(1,25 \frac{\sigma_c}{\sigma_{д.п}}\right)^m = \left(1,25 \frac{6,75}{10,1}\right)^8 = 0,24;$ $m = 8; \quad D = 0,66;$ $\Pi_N = \frac{1}{D - \left(1,25 \frac{\sigma_c}{\sigma_{д.п}}\right)^m} = \frac{1}{0,66 - 0,24} = \frac{1}{0,42} = 2,38$
Допускаемое число циклов при $v_t = 2^\circ\text{C}/\text{мин}$	П. 6.1	$[N^*] = \frac{[N]}{\Pi_N} = \frac{2000}{2,38} = 840$
Повреждаемость, вызываемая ползучестью, при $v_t = 4^\circ\text{C}/\text{мин}$	П. 6.4, черт. 4	$\left(1,25 \frac{\sigma_c}{\sigma_{д.п}}\right)^m = \left(1,25 \frac{7,3}{10,1}\right)^8 = 0,475;$ $m = 8; \quad D = 0,68;$ $\Pi_N = \frac{1}{D - \left(1,25 \frac{\sigma_c}{\sigma_{д.п}}\right)^8} = \frac{1}{0,68 - 0,475} = \frac{1}{0,205} = 4,9$
Допускаемое число циклов при $v_t = 4^\circ\text{C}/\text{мин}$	П. 6.1	$[N^*] = \frac{[N]}{\Pi_N} = \frac{650}{4,9} = 135$

## ПРИМЕР 2

Таблица 2

Искомая величина	Источник	Расчет
Главные напряжения при стационарном режиме на внешней образующей гйба	П. 4.2	$\sigma_{\varphi} = \sigma_{\varphi p} + \sigma_{\varphi a} + \sigma_{\varphi M} = 6,1 + 24,4 + 12,9 = 42,3 \text{ кгс/мм}^2;$ $\sigma_{\varphi p} = \frac{p}{100} \frac{2}{(D_H/D_B)^2 - 1} = \frac{155}{100} \frac{2}{(1,23)^2} = 6,1 \text{ кгс/мм}^2;$ $\frac{D_H}{D_B} = \frac{108}{88} = 1,23; \quad s/D_H = \frac{10}{108} = 0,0925;$ $\sigma_{\varphi a} = k_{\kappa} \sigma_{\varphi p} = 4,0 \cdot 6,1 = 24,4 \text{ кгс/мм}^2;$
	РТМ 24.038.08—72	$\sigma_{\varphi M} = \gamma \frac{M}{w} = 1,0 \frac{9,0 \cdot 10^5}{0,7 \cdot 10^6} = 12,9 \text{ кгс/мм}^2$ $\sigma_z = \sigma_{z p} + \sigma_{z a} + \sigma_{z M} = 3,05 + 7,3 + 12,9 = 23,3 \text{ кгс/мм}^2;$ $\sigma_{z p} = \frac{p}{100} \frac{1}{(D_H/D_B)^2 - 1} = \frac{155}{100} \frac{1}{(1,23)^2 - 1} = 3,05 \text{ кгс/мм}^2;$ $\sigma_{z a} = \mu \sigma_{\varphi a} = 0,3 \cdot 24,4 = 7,3 \text{ кгс/мм}^2;$ $\sigma_{z M} = \beta \frac{M}{w} = 1,0 \frac{9,0 \cdot 10^5}{0,7 \cdot 10^6} = 12,9 \text{ кгс/мм}^2$ <p>при <math>R/D = 4</math> и <math>\lambda = 4 \frac{R}{D} \frac{s}{D} = 1,48 &gt; 1</math></p> $\gamma = \beta = 1 \text{ (РТМ 24.038.08—72)}$

Искомая величина	Источник	Расчет
Максимальные эквивалентные напряжения	П. 4.3	$\sigma_{\varphi 13}^{500} = \sigma_{\varphi} - \sigma_r = 42,3 - 0 = 42,3 \text{ кгс/мм}^2;$ $\sigma_{z 23}^{500} = \sigma_z - \sigma_r = 23,3 - 0 = 23,3 \text{ кгс/мм}^2;$ $\sigma_{\varphi 12}^{500} = \sigma_{\varphi} - \sigma_z = 42,3 - 23,3 = 19,0 \text{ кгс/мм}^2;$ <p>Максимальное значение <math>\sigma_{\varphi 13 \max}^{500} = 42,3 \text{ кгс/мм}^2</math></p>
Минимальные эквивалентные напряжения	П. 4.3	$\sigma_{\varphi 13 \min}^{20} = \sigma_{z 23 \min}^{20} = \sigma_{\varphi 12 \min}^{20} = 0$
Размах эквивалентных напряжений	П. 5.1	$\Delta \sigma_{\varphi 13} = E t \left( \frac{\sigma_{\varphi 13 \max}^{500}}{E_{\max}^{500}} - \frac{\sigma_{\varphi 13 \min}^{20}}{E_{\min}^{20}} \right) = 42,3 - 0 = 42,3 \text{ кгс/м}^2$
Расчетная амплитуда напряжений	П. 5.2	$\max \left\{ \begin{aligned} \sigma_a &= \frac{\Delta \sigma_{\varphi 13}}{2} = \frac{42,3}{2} = 21,15; \\ \sigma_a &= \frac{\Delta \sigma_{\varphi 13}}{2} \frac{\Delta \sigma_{\varphi 13}}{1,5 ([\sigma]_{\max}^{500} + [\sigma]_{\min}^{20})} = \\ &= \frac{42,3}{2} \frac{42,3}{1,5 (11,3 + 17,3)} = 21,0; \end{aligned} \right.$

Искомая величина	Источник	Расчет
Расчетная амплитуда напряжений	П. 5.2	$[\sigma]_{\max}^{500} = 11,3 \text{ кгс/мм}^2, \quad [\sigma]_{\min}^{20} = 17,3 \text{ кгс/мм}^2$ <p style="text-align: center;">(ОСТ 108.031.02—75).</p> <p style="text-align: center;">Принимаем <math>\sigma_a = 21,2 \text{ кгс/мм}^2</math></p>
Допускаемое число циклов по расчетным кривым малоциклового усталости	П. 6.2, черт.	$[N] = 3000$
Среднее окружное напряжение от внутреннего давления	ОСТ 108.031.02—75, П. 9.3.1	$\sigma_{\varphi} = \frac{p D_B}{200s} = \frac{155 \cdot 88}{200 \cdot 10} = 6,85 \text{ кгс/мм}^2$
Среднее радиальное напряжение от внутреннего давления	П. 9.3.3	$\sigma_r = -\frac{p}{200} = -\frac{155}{200} \approx -0,8 \text{ кгс/мм}^2$
Эквивалентное напряжение от внутреннего давления	П. 9.3.8	$\sigma_3^B = \sigma_{\varphi} - \sigma_r = 6,85 - (-0,8) = 7,65 \text{ кгс/мм}^2$
Среднее осевое напряжение от внутреннего давления	П. 9.3.2	$\sigma_{zp} = \frac{p (D_B)^2}{400 (D_B + s) s} = \frac{155 (88)^2}{40 (88 + 10) \cdot 10} = 3,05 \text{ кгс/мм}^2$
Среднее осевое напряжение от изгибающего момента, вызванного самокомпенсацией температурных расширений	П. 9.3.2	$\sigma_{zM} = \frac{M}{w} = \frac{9,0 \cdot 10^5}{0,7 \cdot 10^6} = 12,9 \text{ кгс/мм}^2$

Искомая величина	Источник	Расчет
Эквивалентное напряжение от внутреннего давления и самокомпенсации температурных расширений	П. 9.3.8, РТМ 24.038.08—72	$\sigma_9^{B, CK} = \sigma_z - \sigma_r = 3,05 + 0,8 \cdot 0,6 \cdot 12,9 - (-0,8) = 10,1 \text{ кгс/мм}^2$ $s/D_H = 0,0925; \quad k = 1,25$
Расчетное напряжение с учетом ползучести	П. 6.4	$\max \begin{cases} \sigma_c = k\sigma_9^B = 1,25 \cdot 7,6 = 9,5 \text{ кгс/мм}^2; \\ \sigma_c = k\sigma_9^{B, CK} = 1,25 \cdot 10,1 = 12,6 \text{ кгс/мм}^2; \end{cases}$ $k = 1,25 \text{ так как } \frac{\Delta\sigma_{913}}{1,5 ([\sigma]_{\max}^t + [\sigma]_{\min}^t)} < 1.$ <p>Принимаем для дальнейших расчетов большее значение:</p> $\sigma_c = 12,6 \text{ кгс/мм}^2$
Повреждаемость, вызываемая ползучестью	П. 6.4	$\left(1,25 \frac{\sigma_c}{\sigma_{д.п}}\right)^m = \left(1,25 \frac{12,6}{1,5 \cdot 11,3}\right)^8 = 0,61;$ $D = 0,77, \quad m = 8;$ $P_N = \frac{1}{D - \left(1,25 \frac{\sigma_c}{\sigma_{д.п}}\right)^m} = \frac{1}{0,77 - 0,61} = 6,25$
Допускаемое число циклов	П. 6.1	$[N^*] = \frac{]N]}{P_N} = \frac{3000}{6,25} = 480$

## СОДЕРЖАНИЕ

	Стр.
1. Условные обозначения . . . . .	1
2. Основные положения . . . . .	2
3. Переменные нагрузки . . . . .	3
4. Переменные напряжения . . . . .	3
5. Размах и амплитуда переменных напряжений . . . . .	4
6. Допускаемая амплитуда переменных напряжений . . . . .	5
Приложение. Примеры расчета . . . . .	11

Редактор *Н. М. Чернецова.*

Техн. ред. *Н. П. Белянина.*

Корректор *С. М. Косенкова.*

---

Сдано в набор 27.02.78. Подписано к печ. 12.04.78. Формат бум. 60×90<sup>1/16</sup>.  
Объем 1<sup>1/4</sup> печ. л. Тираж 400 Заказ 201. Цена 25 коп.

---

Редакционно-издательский отдел НПО ЦКТИ им. И. И. Ползунова.  
194021, Ленинград, Политехническая ул., 24.

"Котлы стационарные паровые и водогрейные и трубопроводы пара и горячей воды. Метод оценки долговечности при малоцикловой усталости и ползучести".

Указанием Министерства энергетического машиностроения от 13.12.84. № 94-002/19334 орок введения установлен с 01.10.85

Раздел I. Абзац "П<sub>б</sub>, П<sub>н</sub> - коэффициенты,....." - исключить.

Пункт 4.2. Второй абзац, начиная со слов "Для гибов, коэффициент концентрации...." заменить предложением: "Составляющие главных нормальных напряжений для гибов рекомендуется определять в соответствии с РТМ 108.031.112-80".

Пункт 6.1 изложить в новой редакции:

"6.1. Для оценки допускаемой амплитуды переменных напряжений /  $\sigma_a^*$  / при заданном числе циклов  $N$  или допускаемого числа циклов /  $N^t$  / при заданной амплитуде напряжений  $\sigma_a$  используется принцип суммирования повреждений от усталости и ползучести в виде

$$\left[ \frac{N}{N^t} \right] + \left( 1,25 \frac{\sigma_c}{\sigma_{g,n}^t} \right)^n \leq D$$

Значения предела длительной прочности следует принимать в соответствии с действующей нормативно-технической документацией на материалы.

Допускается принимать для диапазона температур, обуславливающих учет ползучести в соответствии с ОСТ 108.031.02-75

$$\sigma_{g,n}^t = 1,5 [\sigma]$$



Для сталей 12ХМФ, 15ХМ и 12МХ формулу  $\sigma_{\varphi}^b = 1,5[\sigma]$  для определения предела длительной прочности рекомендуется использовать при температурах не ниже 485°C."

Пункт 6.2 дополнить:

"Кривые малоциклового усталости с учетом влияния коррозии для гибов трубопроводов котлов приведены в РТМ 108.031.112-80".

Пункт 6.4 изложить в новой редакции:

"6.4. Расчетное напряжение при ползучести  $\sigma_c$  представляет собой максимальное главное нормальное напряжение, определенное с учетом пластичности и ползучести материала. Расчет  $\sigma_c$  для колен трубопроводов рекомендуется производить в соответствии с РТМ 108.031.112-80.

Для камер пароперегревателей допускается принимать  $\sigma_c$  наибольшим из значений, вычисленных по формулам:

$$\sigma_c = K \cdot \sigma_{\varphi}^b ;$$

$$\sigma_c = K \cdot \sigma_{\varphi}^{b,ck} ,$$

где  $K = 1,4$  при

$$\frac{\Delta \sigma_{\varepsilon i j}}{1,5 \cdot ([\sigma]_{\max} + [\sigma]_{\min})} \leq 1 ;$$

$K = 1,5$  при

$$\frac{\Delta \sigma_{\varepsilon i j}}{1,5 \cdot ([\sigma]_{\max} + [\sigma]_{\min})} > 1 .$$

Значения  $\sigma_{\varphi}^b$  и  $\sigma_{\varphi}^{b,ck}$  следует определять, принимая значение коэффициента ослабления отверстиями  $\varphi = 1$ ".

Пункт 6.5 изложить в новой редакции:

"6.5. Если  $1,25 \cdot \frac{\sigma_c}{\sigma_{j,n}} \geq 1$ , то допускается не более 100 циклов пуск-останов, если  $\frac{\sigma_c}{\sigma_{j,n}} \leq 0,5$ , то повреждаемость от ползучести не учитывается".